



Department of Signal Processing
Institute of Information Theory and Automation
Czech Academy of Sciences, Prague

INTERNÍ ZPRÁVA

Tomáš Mazanec

ADSL - řešeršní zpráva

Září 2005

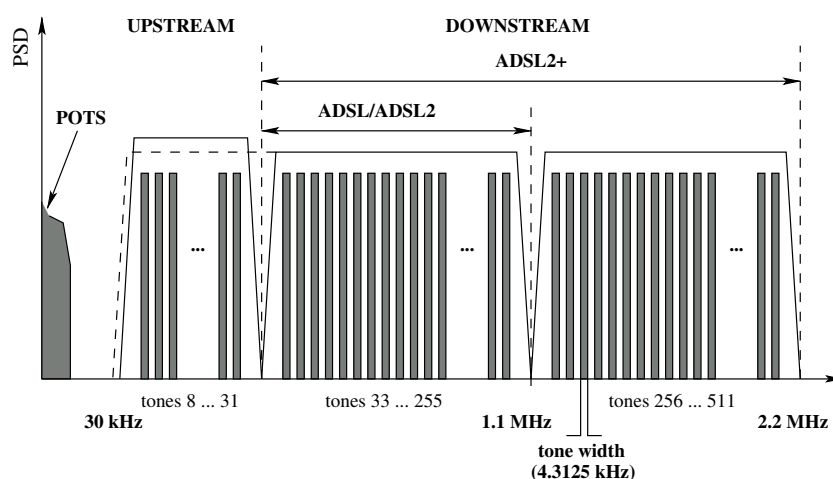
ÚTIA AV ČR, P. O. Box 18, 182 08 Prague, Czech Republic
Phone: +420-2-6605 2472
Fax: +420-2-6605 2511
E-mail: mazanec@utia.cas.cz

Obsah

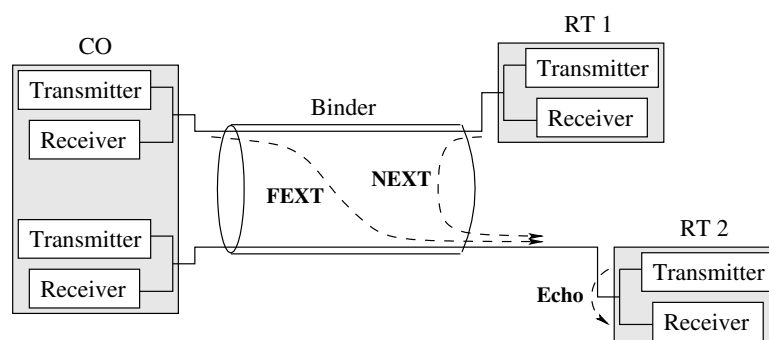
1	ADSL - Asymmetric Digital Subscriber Line	2
1.1	DMT - Discrete Multitone Modulation	4
2	Ekvalizace ADSL kanálu	5
2.1	Cyklický prefix - CP	5
2.2	Princip ekvalizace	5
2.3	TEQ - Time domain EQualizer	6
2.4	Optimalizace TEQ kritériem MMSE	6
2.5	Určení optimálních koeficientů TEQ (MMSE)	7
2.5.1	Podmínka jednotkové normy TIR (Unit norm constraint)	8
2.5.2	Podmínka jednotkové normy TEQ (Unit norm constraint)	8
2.5.3	Podmínka jednotkového koeficientu TEQ (Unit tap constraint)	9
2.5.4	Podmínka jednotkového koeficientu TIR (Unit tap constraint)	11
2.5.5	Podmínka jednotkové energie - TIR a TEQ (Unit energy constraint)	11
2.5.6	Shrnutí MMSE TEQ	14
2.6	Další metody optimalizace TEQ	14
2.6.1	Maximum shortening SNR (MSSNR)	14
2.6.2	Minimum delay spread (MDS)	15
2.6.3	Maximum geometric SNR (MGSNR)	16
2.6.4	Carrier nulling algorithm (CNA)	18
2.7	Shrnutí	19
2.8	Ekvalizace ve frekvenci - FEQ	20
2.9	Ekvalizace ve frekvenci (PT-EQ)	20
2.9.1	Základní provedení PT-EQ	20
2.9.2	PT-EQ s optimalizací MMSE (MMSE-FEQ)	21
2.9.3	Modifikace PT-EQ	21
3	Shrnutí	23

1 ADSL - Asymmetric Digital Subscriber Line

- Slouží k přenosu dat po telefonních TP přípojkách (xDSL technologie).
- Potýká se s nízkou kvalitou přípojek, rádiovým rušením (RFI) a také s přeslechy (obr. 2).
- Použitelné frekvenční pásmo omezené (obr. 1).
- Přenos dat je duplexní a řeší se frekvenčním oddělením (FDD) nebo vyhýbkou (hybridem). Datový tok "downstream" je několikrát větší než upstream.
- Duplex s vyhýbkou vyžaduje potlačení echa (obr. 2).
- Dosahuje dostačujících parametrů (tab. 1), ale nároky rostou.



Obrázek 1: Schema frekvenčních pásem na účastnických přípojkách.



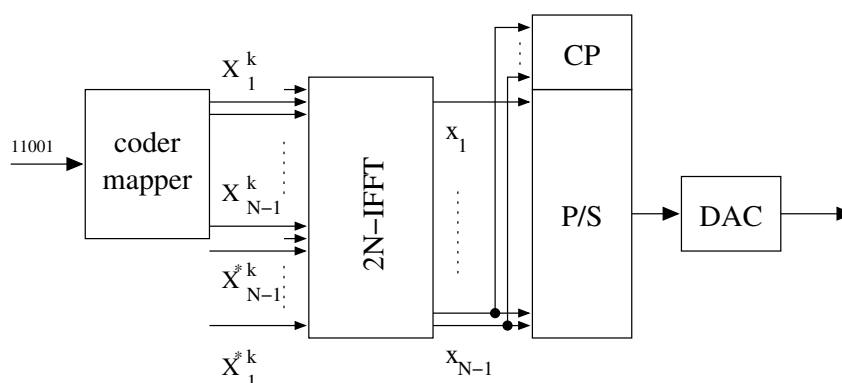
Obrázek 2: Znázornění přeslechů a echa v typickém zapojení stanic.

typ	pásmo [MHz]	datový tok			poznámka
		down [Mb/s]	up [Mb/s]	délka TP [km]	
POTS	4 k	56kb/s	-	-	2x TP
ISDN	80 k	160kb/s sym.	-	< 5,5	
HDSL	200 k	2 sym.	-	-	
SDSL	200 k	2 sym.	-	-	
ADSL	1,1	6	640 kb/s	4	snížená režie, ADM
ADSL2	1,1	6 (8)	640 kb/s	4	
ADSL2+	2,2	15	1,5	< 1,8	není standard.
ADSL2++	3,75	13-52	1,5-2,3	-	
VDSL	12 (30)	13-52	1,6-6,4	0,3-1,5	fibre to cab., FDD
VDSL2	30	100	-	<76,2m	250 ft., ITU-T

Tabulka 1: Vybrané technologie přenosu dat po TP přípojkách

1.1 DMT - Discrete Multitone Modulation

- V ADSL se používá DMT modulace, kt. je založena na systému více subnosných frekvencích (až 255 subnosných).
- Data se přenáší v DMT symbolech, kt. jsou uspořádány do rámce. Symbol je skupina modulovaných subnosných.
- Subnosné (tzv. tóny) jsou vůči sobě ortogonální (OFDM), to uspoří frekv. pásmo.
- Na každou ze subnosných se kóduje N-bitů pomocí N-stavové QAM. V ADSL se navíc řídí zesílení každé subnosné.
- Proměnný počet modulovaných bitů na každé subnosné (bitload) je výhodný pro přenos na vedení s nevyrovnanou charakteristikou a proti úzkopásmovému rušení.
- Modulace a demodulace s DMT se realizuje pomocí FFT a IFFT (obr. 3).
- Přechodový jev a zpoždění přenosového kanálu (tzv. délka kanálu) způsobují interference mezi vysílanými symboly (ISI) a také interference mezi subnosnými (ICI).
- Vysílač s DMT přidává ke každému symbolu cyklický prefix (CP), potlačí se tím vliv přechodového jevu a částečně i délky kanálu (viz. dále).



Obrázek 3: Blokové schéma DMT vysílače.

2 Ekvalizace ADSL kanálu

2.1 Cyklický prefix - CP

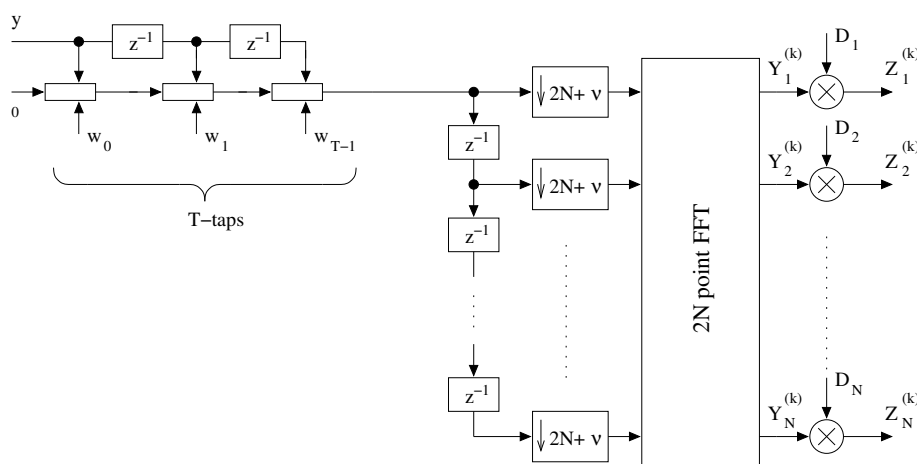
- **Motivace:** potlačit interference (ICI, ISI) vzniklé průchodem přenosovým kanálem.
- Jeho přidání k (před) DMT symbolu způsobí:
 - potlačení vlivu přechodového jevu kanálu,
 - pseudo-periodicitu symbolu (lepší pro zpracování FFT),
 - zajištění ortogonality tónů,
 - zjednodušení ekvalizéru v přijímači.
- **Cílem:** principiálně zachovat vlastnost, že lze spektrum přijatého signálu $\text{FFT}\{x\}$ zjistit podělením spektra signálu na vstupu přijímače $\text{FFT}\{y\}$ spektrem odezvy kanálu $\text{FFT}\{h\}$, tj.:

$$\text{FFT}\{x\} = \frac{\text{FFT}\{y\}}{\text{FFT}\{h\}}.$$

- Délka kanálu u ADSL je několikrát větší než délka vhodného CP. Použití CP proto není dostačujícím řešením potlačení ISI a ICI.
- Prodlužování CP na délku kanálu není vhodné, hlavně proto, že delší CP zabere více přenosové kapacity kanálu - sníží se užitečný datový tok.
- Další možností jak více potlačovat interference je za DMT symbol přidat cyklický sufix CS (CP zůstává) a po té váhovat vhodným oknem. Celkově to ale vede ke složité situaci a k možnému porušení ortogonality tónů. Přesto existují metody, které CS a váhování výhodně používají.

2.2 Princip ekvalizace

- Ekvalizace v DMT přijímači je nutná pro lepší využití přenosové kapacity kanálu a je dalším krokem po použití cyklického prefixu. Situaci ukazuje obrázek č. 4.
- Adaptivní filtr s konečnou impulsovou odezvou TEQ (Time domain EQualizer) zkracuje efektivní délku přenosového kanálu, respektive zkracuje délku kanálu a modifikuje ho tak, aby splňoval požadované vlastnosti.
- TEQ se nastavuje během inicializace spojení, při optimálním nastavení potlačuje ICI a ISI.
- Ekvalizaci korektně přijatých tónů (bez ICI a ISI) zařizuje filtr ve frekvenční oblasti FEQ. Za předpokladu optimálního TEQ je nejjednodušší formou FEQ komplexní násobička s jedním koeficientem a provádí tzv. inverzi kanálu.



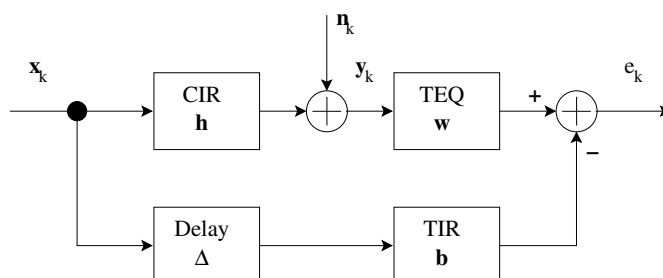
Obrázek 4: Princip ekvalizace v přijímači DMT (TEQ, převod S/P, FFT, FEQ).

2.3 TEQ - Time domain EQualizer

- TEQ upravuje výslednou efektivní odezvu kanálu ADSL podle určitého kritéria tak, aby při optimálním nastavení splňovala požadované vlastnosti.
- Efektivní odezva kanálu je dána konvolucí odezvy kanálu CIR \mathbf{h} a koeficientů TEQ \mathbf{w} .
- Otázka je jaké kritérium zvolit, resp. jakou metodou (na jakou vlastnost) TEQ optimalizovat. Existuje více metod a kritérií, např.:
 - Minimum mean square error
 - Maximum shortening SNR
 - Minimum ISI
 - Minimum delay spread
 - Maximum geometric SNR
 - Maximum bit rate

2.4 Optimalizace TEQ kritériem MMSE

- **Motivace:** zkrátit efektivní délku kanálu ADSL na délku CP - channel shortening.
- **Cíl:** dle modelu kanálu ADSL a jeho MMSE ekvalizace (obr. 5) najít optimální koeficienty filtru \mathbf{w} .
- Návrh TEQ závisí na více parametrech - zpoždění Δ a tzv. požadované odezvě TIR \mathbf{b} .
- Optimální návrh TEQ se určí jako minimum kvadrátu chyby e_k , tj. pomocí kritéria MMSE.



Obrázek 5: Model ekvalizace TEQ.

2.5 Určení optimálních koeficientů TEQ (MMSE)

- Dle modelu (obr. 5) lze napsat vztah pro chybový signál e_k :

$$e_k = w_k \star y_k - b_k \star x_k = \mathbf{w}^T \mathbf{y}_k - \mathbf{b}^T \mathbf{x}_k ,$$

kde

$$\mathbf{x}_k = [x_{k-\Delta} \dots x_{k-\Delta-\nu}]^T , \quad \mathbf{y}_k = [y_k \dots y_{k-T+1}]^T ,$$

$$\mathbf{w} = [w_0 \dots w_{T-1}]^T , \quad \mathbf{b} = [b_0 \dots b_\nu]^T ,$$

T je délka TEQ a ν je délka CP (délka TIR je $\nu + 1$).

- Účelová funkce MSE je:

$$J_{MSE} = \mathcal{E} [||\mathbf{w}^T \mathbf{y}_k - \mathbf{b}^T \mathbf{x}_k||_2^2]$$

$$= \mathbf{w}^T \mathbf{R}_{yy} \mathbf{w} + \mathbf{b}^T \mathbf{R}_{xx} \mathbf{b} - 2\mathbf{b}^T \mathbf{R}_{xy} \mathbf{w} \quad (1)$$

kde $\mathcal{E} [\cdot]$ značí operátor střední hodnoty a \mathbf{R}_{xx} , \mathbf{R}_{yy} , \mathbf{R}_{xy} jsou korelační matice indexovaných signálů.

- Nyní hledáme minimum účelové funkce, tj:

$$\min_{\mathbf{w}, \mathbf{b}} J_{MSE}(\mathbf{w}, \mathbf{b}) . \quad (2)$$

- Aby se zamezilo triviálnímu řešení, je nutné použít nějaké doplňující podmínky (constraint).
- V následujících odstavcích jsou rozebrány některé z algoritmů, kterými lze určit optimální koeficienty ADSL ekvalizéru, a jejich vlastnosti.

2.5.1 Podmínka jednotkové normy TIR (Unit norm constraint)

- Za podmínky jednotkové normy TIR:

$$\mathbf{b}^T \mathbf{b} = 1 \quad \text{tj.: } \|\mathbf{b}\|_2^2 = 1 \quad (3)$$

hledáme minimum účelové funkce (1) Lagrangeovou metodou:

$$\begin{aligned} \min_{\mathbf{w}, \mathbf{b}} \mathcal{L} \\ \min_{\mathbf{w}, \mathbf{b}} \mathbf{w}^T \mathbf{R}_{yy} \mathbf{w} + \mathbf{b}^T \mathbf{R}_{xx} \mathbf{b} - 2\mathbf{b}^T \mathbf{R}_{xy} \mathbf{w} + \lambda(1 - \mathbf{b}^T \mathbf{b}) \end{aligned} \quad (4)$$

- Jednotlivé gradienty \mathcal{L} položíme rovny nule:

$$\nabla_{\mathbf{w}} \mathcal{L} = \mathbf{R}_{yy} \mathbf{w} - \mathbf{R}_{yx} \mathbf{b} = 0 \quad (5)$$

$$\nabla_{\mathbf{b}} \mathcal{L} = \mathbf{R}_{xx} \mathbf{b} - \mathbf{R}_{xy} \mathbf{w} - \lambda \mathbf{b} = 0 \quad (6)$$

$$\nabla_{\lambda} \mathcal{L} = \mathbf{b}^T \mathbf{b} - 1 = 0 \quad (7)$$

- Z rovnice (5) vyjádříme \mathbf{w}

$$\mathbf{w} = \mathbf{R}_{yy}^{-1} \mathbf{R}_{yx} \mathbf{b} \quad (8)$$

a dosadíme do (6)

$$\underbrace{(\mathbf{R}_{xx} - \mathbf{R}_{xy} \mathbf{R}_{yy}^{-1} \mathbf{R}_{yx})}_{\mathbf{R}_{\Delta}} \mathbf{b} = \lambda \mathbf{b} \quad (9)$$

$$\mathbf{R}_{\Delta} \mathbf{b} = \lambda \mathbf{b} \quad (10)$$

- Tím dostáváme řešení pro optimální TIR, kdy je vektor koeficientů \mathbf{b}_{opt} roven vlastnímu vektoru, který odpovídá nejmenšímu vlastnímu číslu λ_{min} matice \mathbf{R}_{Δ} . Nejmenší vlastní číslo, takto definované úlohy, totiž odpovídá, dle [1] a [4], minimální střední hodnotě kvadrátu chyby MSE kritéria.
- Optimální koeficienty TEQ pak získáme dle rovnice (8)

$$\mathbf{w}_{opt} = \mathbf{R}_{yy}^{-1} \mathbf{R}_{yx} \mathbf{b}_{opt} \quad (11)$$

2.5.2 Podmínka jednotkové normy TEQ (Unit norm constraint)

- Za podmínky jednotkové normy na TEQ (12) postupujeme Lagrangeovou metodou jako v předchozím případě.

$$\mathbf{w}^T \mathbf{w} = 1 \quad (12)$$

- Z gradientu $\nabla_{\mathbf{b}} \mathcal{L}$ vyjádříme koeficienty TIR \mathbf{b} :

$$\mathbf{b} = \mathbf{R}_{xx}^{-1} \mathbf{R}_{xy} \mathbf{w} \quad (13)$$

- Dosazením (13) do gradientu $\nabla_{\mathbf{w}} \mathcal{L}$ dostáváme rovnici (15). Vektor optimálních koeficientů TEQ \mathbf{w}_{opt} je roven vlastnímu vektoru \mathbf{R}_{Δ} , který odpovídá jejímu minimálnímu vlastnímu číslu λ_{min} .

$$\underbrace{(\mathbf{R}_{yy} - \mathbf{R}_{yx} \mathbf{R}_{xx}^{-1} \mathbf{R}_{xy})}_{\mathbf{R}_{\Delta}} \mathbf{w} = \lambda \mathbf{w} \quad (14)$$

$$\mathbf{R}_{\Delta} \mathbf{w} = \lambda \mathbf{w} \quad (15)$$

- Optimální koeficienty TEQ pak získáme dle rovnice (13):

$$\mathbf{b}_{opt} = \mathbf{R}_{xx}^{-1} \mathbf{R}_{xy} \mathbf{w}_{opt} \quad (16)$$

2.5.3 Podmínka jednotkového koeficientu TEQ (Unit tap constraint)

- Podle podmínky jednotkového koeficientu filtru TEQ

$$\mathbf{e}_i^T \mathbf{w} = 1 \quad (17)$$

kde \mathbf{e}_i je jednotkový vektor s jednou jedničkou na i -té pozici.

- sestavíme rovnici pro Lagrangeovu metodu

$$\min_{\mathbf{w}, \mathbf{b}} \mathbf{w}^T \mathbf{R}_{yy} \mathbf{w} + \mathbf{b}^T \mathbf{R}_{xx} \mathbf{b} - 2\mathbf{b}^T \mathbf{R}_{xy} \mathbf{w} + \lambda(1 - \mathbf{e}_i^T \mathbf{w}) \quad (18)$$

- Gradienty $\nabla \mathcal{L}$ položíme rovny nule

$$\nabla_{\mathbf{w}} \mathcal{L} = 2\mathbf{R}_{yy} \mathbf{w} - 2\mathbf{R}_{yx} \mathbf{b} - \lambda \mathbf{e}_i = 0 \quad (19)$$

$$\nabla_{\mathbf{b}} \mathcal{L} = \mathbf{R}_{xx} \mathbf{b} - \mathbf{R}_{xy} \mathbf{w} = 0 \quad (20)$$

$$\nabla_{\lambda} \mathcal{L} = \mathbf{e}_i^T \mathbf{w} - 1 = 0 \quad (21)$$

- Vyjádřením \mathbf{b} z (20)

$$\mathbf{b} = \mathbf{R}_{xx}^{-1} \mathbf{R}_{xy} \mathbf{w} \quad (22)$$

a dosazením do (19) dostáváme:

$$2 \underbrace{(\mathbf{R}_{yy} - \mathbf{R}_{yx} \mathbf{R}_{xx}^{-1} \mathbf{R}_{xy})}_{\mathbf{R}_{\Delta}} \mathbf{w} = \lambda \mathbf{e}_i \quad (23)$$

$$2\mathbf{R}_{\Delta} \mathbf{w} = \lambda \mathbf{e}_i \quad (24)$$

- Vynásobením pravé strany (24) jedničkou ($\mathbf{e}_i^T \mathbf{w}$) získáme rovnici, kterou lze řešit zobecněnými vlastními čísly (generalized eigenvalue):

$$2 \underbrace{\mathbf{R}_\Delta}_{\mathbf{B}} \mathbf{w} = \lambda \underbrace{\mathbf{e}_i \mathbf{e}_i^T}_{\mathbf{A}} \mathbf{w} \quad (25)$$

$$\mathbf{B} \mathbf{w} = \lambda \mathbf{A} \mathbf{w} \quad (26)$$

- Nyní lze situaci zjednodušit přeformulováním (25), za předpokladu invertovatelnosti \mathbf{R}_Δ :

$$\mathbf{B} \mathbf{w} = \lambda \mathbf{A} \mathbf{w} \quad / \times \mathbf{B}^{-1} \quad (27)$$

$$\underbrace{\mathbf{B}^{-1} \mathbf{B}}_{\mathbf{I}} \mathbf{w} = \lambda \mathbf{B}^{-1} \mathbf{A} \mathbf{w} \quad (28)$$

$$\mathbf{B}^{-1} \mathbf{A} \mathbf{w} = \lambda^{-1} \mathbf{w} \quad (29)$$

λ^{-1} nahradíme λ' a místo největšího vlastního čísla λ budeme hledat nejmenší λ' matice $\mathbf{B}^{-1} \mathbf{A}$:

$$\mathbf{B}^{-1} \mathbf{A} \mathbf{w} = \lambda' \mathbf{w} \quad (30)$$

$$2 \mathbf{R}_\Delta^{-1} \mathbf{e}_i \mathbf{e}_i^T \mathbf{w} = \lambda' \mathbf{w} \quad (31)$$

- Vzhledem k tomu, že velikost hodnot jednotlivých tónů upravuje až FEQ, lze v rovnici (31) dále zanedbat násobení dvojkou. Na funkci TEQ nemá toto zanedbání vliv. Pro přehlednost nadefinujeme matici \mathbf{G} a upravíme (31):

$$\mathbf{G} = \mathbf{R}_\Delta^{-1} \mathbf{e}_i \mathbf{e}_i^T \quad (32)$$

$$\mathbf{G} \mathbf{w} = \lambda' \mathbf{w} \quad (33)$$

- Hledáme tedy vektor optimálních koeficientů \mathbf{w}_{opt} , který je roven vlastnímu vektoru matice \mathbf{G} , který přísluší nejmenšímu vlastnímu číslu λ' této matice.
- Díky hodnotám vektoru \mathbf{e}_i (viz. podmínka 17) je matice \mathbf{G} tvořena jen i -tým sloupcem matice \mathbf{R}_Δ^{-1} a to na i -té pozici matice \mathbf{G} . Hledaný vlastní vektor matice \mathbf{G} je pak určen právě tímto sloupcem, tj. je to vektor popisující stejnou basi.
- Optimální koeficienty TEQ \mathbf{w}_{opt} lze podle [4] analyticky vyjádřit:

$$\mathbf{w}_{opt} = \frac{\mathbf{R}_\Delta^{-1} \mathbf{e}_{i_{opt}}}{\mathbf{e}_{i_{opt}}^T \mathbf{R}_\Delta^{-1} \mathbf{e}_{i_{opt}}} \quad (34)$$

kde $i_{opt} = \max \arg_{0 < i < T} \{\mathbf{R}_\Delta^{-1}(i, i)\}$

- Z výrazu (34) je patrné, že vektor optimálních koeficientů TEQ odpovídá i_{opt} -tému sloupci matice \mathbf{R}_{Δ}^{-1} . Násobnost vektoru pak upravuje jmenovatel výrazu ($\mathbf{R}_{\Delta}^{-1}(i, i)$), který odpovídá vlastnímu číslu matice. Podmínka i_{opt} -tého jednotkového koeficientu je tak splněna.
- Optimální koeficienty TIR pak dle (20):

$$\mathbf{b}_{opt} = \mathbf{R}_{xx}^{-1} \mathbf{R}_{xy} \mathbf{w}_{opt} \quad (35)$$

2.5.4 Podmínka jednotkového koeficientu TIR (Unit tap constraint)

- Podle podmínky jednotkového koeficientu filtru TIR (36) postupujeme jako v předchozím případě.

$$\mathbf{e}_i^T \mathbf{b} = 1 \quad (36)$$

kde \mathbf{e}_i je jednotkový vektor s jednou jedničkou na i -té pozici.

- Matice \mathbf{R}_{Δ} bude nyní ve tvaru:

$$\mathbf{R}_{\Delta} = \mathbf{R}_{xx} - \mathbf{R}_{xy} \mathbf{R}_{yy}^{-1} \mathbf{R}_{yx} \quad (37)$$

a rovnice pro koeficienty TEQ \mathbf{w} , analogicky i pro \mathbf{w}_{opt} , bude:

$$\mathbf{w} = \mathbf{R}_{yy}^{-1} \mathbf{R}_{yx} \mathbf{b} \quad (38)$$

- Výraz pro optimální koeficienty TIR \mathbf{b}_{opt} , stejně jako v případě podmínky jednotkového koeficientu TEQ, bude:

$$\mathbf{b}_{opt} = \frac{\mathbf{R}_{\Delta}^{-1} \mathbf{e}_{i_{opt}}}{\mathbf{e}_{i_{opt}}^T \mathbf{R}_{\Delta}^{-1} \mathbf{e}_{i_{opt}}} \quad (39)$$

kde $i_{opt} = \max \arg_{0 < i < \nu+1} \{\mathbf{R}_{\Delta}^{-1}(i, i)\}$

2.5.5 Podmínka jednotkové energie - TIR a TEQ (Unit energy constraint)

- Pro TIR a TEQ lze napsat tři různé podmínky jednotkové energie:

$$\text{TIR: } \mathbf{b}^T \mathbf{R}_{xx} \mathbf{b} = 1 \quad (40)$$

$$\text{TEQ: } \mathbf{w}^T \mathbf{R}_{yy} \mathbf{w} = 1 \quad (41)$$

$$\text{TIR + TEQ: } \mathbf{b}^T \mathbf{R}_{xx} \mathbf{b} = 1 \quad \text{a} \quad \mathbf{w}^T \mathbf{R}_{yy} \mathbf{w} = 1 \quad (42)$$

- Podmínka pro TIR znamená jednotkovou energii vstupní, podmínka pro TEQ pak energii výstupní. Jak dokazuje [1], jsou výsledné optimální koeficienty, až na násobek, stejné, tj.:

$$\mathbf{w}_{1,opt} = \sigma \mathbf{w}_{2,opt} \quad (43)$$

$$\mathbf{b}_{1,opt} = \sigma^{-1} \mathbf{b}_{2,opt} \quad (44)$$

$$\mathbf{w}_{2,opt} = \mathbf{w}_{3,opt} \quad (45)$$

$$\mathbf{b}_{1,opt} = \mathbf{b}_{3,opt} \quad (46)$$

kde σ je skalární násobek a indexy vektorů značí jednotlivé případy podmínky (1 ... TIR, 2 ... TEQ a 3 ... TIR a TEQ).

podmínka jednotkové energie - TIR

- Pro určení optimálních koeficientů TIR hledáme minimum účelové funkce (1) za podmínky $\mathbf{b}^T \mathbf{R}_{xx} \mathbf{b} = 1$.
- Gradient účelové funkce $\nabla_{\mathbf{w}} J$ položíme rovno nule a vyjádříme koeficienty TEQ:

$$\mathbf{w} = \mathbf{R}_{yy}^{-1} \mathbf{R}_{yx} \mathbf{b} \quad (47)$$

- Výraz (47) dosadíme do (1), tím eliminujeme \mathbf{w} .
- Minimum účelové funkce (2) pak přepíšeme do tvaru:

$$\min_{\mathbf{b}} J = \min_{\mathbf{b}} \mathbf{b}^T (\mathbf{R}_{xx} - \mathbf{R}_{xy} \mathbf{R}_{yy}^{-1} \mathbf{R}_{yx}) \mathbf{b}, \quad \text{za podm.: } \mathbf{b}^T \mathbf{R}_{xx} \mathbf{b} = 1 \quad (48)$$

- Aby se řešení vyhnulo složitému problému vlastních čísel upravíme (48) tak, aby se zjednodušila podmínka jednotkové energie (viz. [1]).

$$\begin{aligned} \min_{\mathbf{b}} J &= 1 - \max_{\tilde{\mathbf{b}}} \tilde{\mathbf{b}}^T (\mathbf{R}_{xx}^{-T/2} \mathbf{R}_{xy} \mathbf{R}_{yy}^{-1} \mathbf{R}_{yx} \mathbf{R}_{xx}^{-1/2}) \tilde{\mathbf{b}} \\ &= 1 - \max_{\tilde{\mathbf{b}}} \tilde{\mathbf{b}}^T (\mathbf{P}^T \mathbf{P}) \tilde{\mathbf{b}}, \quad \text{za podm.: } \tilde{\mathbf{b}}^T \tilde{\mathbf{b}} = 1 \end{aligned} \quad (49)$$

kde $\tilde{\mathbf{b}}$ je transformovaný vektor \mathbf{b} :

$$\tilde{\mathbf{b}} = \mathbf{R}_{xx}^{1/2} \mathbf{b} \quad (50)$$

a matice \mathbf{P} je definována jako:

$$\mathbf{P} = \mathbf{R}_{yy}^{-T/2} \mathbf{R}_{yx} \mathbf{R}_{xx}^{-1/2} \quad (51)$$

- Dle [1] je pak vektor optimálních $\tilde{\mathbf{b}}$ roven vlastnímu vektoru matice $\mathbf{P}^T \mathbf{P}$, který odpovídá největšímu vlastnímu číslu této matice.
- Optimální koeficienty TIR určíme z (50).

podmínka jednotkové energie - TEQ

- Pro nalezení optimálních koeficientů TEQ postupujeme podobně jako v případě TIR. G. Ysebaert v [1] ukazuje, že optimální koeficienty TEQ jsou řešením (52 a 53), kde odpovídají vektoru vlastních čísel s největším vlastním číslem matice $\mathbf{P}\mathbf{P}^T$.

$$\min_{\mathbf{w}} J = 1 - \max_{\tilde{\mathbf{w}}} \tilde{\mathbf{w}}^T (\mathbf{P}\mathbf{P}^T) \tilde{\mathbf{w}}, \quad \text{za podm.: } \tilde{\mathbf{w}}^T \tilde{\mathbf{w}} = 1 \quad (52)$$

kde $\tilde{\mathbf{w}}$ je transformovaný vektor \mathbf{w} :

$$\tilde{\mathbf{w}} = \mathbf{R}_{yy}^{1/2} \mathbf{w} \quad (53)$$

Matice \mathbf{P} je stejně jako pro TIR definována:

$$\mathbf{P} = \mathbf{R}_{yy}^{-T/2} \mathbf{R}_{yx} \mathbf{R}_{xx}^{-1/2} \quad (54)$$

podmínky jednotkové energie - TIR, TEQ - pokračování

- Na základě řešení TIR $\tilde{\mathbf{b}}$ a TEQ $\tilde{\mathbf{w}}$, tj. hledáme největší vlastní číslo $\mathbf{P}^T \mathbf{P}$ nebo $\mathbf{P}\mathbf{P}^T$, G. Ysebaert [1] dokazuje že existuje jednodušší řešení. V obou případech lze optimální koeficienty TEQ \mathbf{w} určit jako vektor s největším vlastním číslem matice \mathbf{Q} , kde

$$\mathbf{Q} = \mathbf{R}_{yy}^{-1} \mathbf{R}_{yx} \mathbf{R}_{xx}^{-1} \mathbf{R}_{xy} \quad (55)$$

tj. že platí:

$$\text{za podm. na TIR: } \mathbf{Q}\mathbf{w} = \lambda_{max} \mathbf{w} \quad (56)$$

a

$$\text{za podm. na TEQ: } \mathbf{Q}\mathbf{w} = \lambda_{max} \mathbf{w} \quad (57)$$

podmínka jednotkové energie - TIR a TEQ

- Lze odhadnout, že za obou podmínek uvažovaných současně

$$\mathbf{b}^T \mathbf{R}_{xx} \mathbf{b} = 1 \quad \text{a} \quad \mathbf{w}^T \mathbf{R}_{yy} \mathbf{w} = 1, \quad (58)$$

bude k nalezení optimálních koeficientů třeba řešit zobecněná vlastní čísla.

- Optimum z účelové funkce, za daných podmínek, tedy hledáme Lagrangeovou metodou a dle [1] dostáváme:

$$\begin{bmatrix} \mathbf{0} & \mathbf{R}_{yx} \\ \mathbf{R}_{xy} & \mathbf{0} \end{bmatrix} \begin{bmatrix} \mathbf{w} \\ \mathbf{b} \end{bmatrix} = \begin{bmatrix} \mathbf{R}_{yy} & \mathbf{0} \\ \mathbf{0} & \mathbf{R}_{xx} \end{bmatrix} \begin{bmatrix} \mathbf{w} \\ \mathbf{b} \end{bmatrix} (1 - \alpha), \quad (59)$$

kde $(1 - \alpha)$ je zobecněné vlastní číslo.

- Účelová funkce (1) může být zjednodušena:

$$J(\mathbf{w}, \mathbf{b}) = 2 - 2\mathbf{b}^T \mathbf{R}_{xy} \mathbf{w} = 2\alpha \quad (60)$$

- Vyplývá tedy (59, 60), že minimum účelové funkce odpovídá největšímu zobecněnému vlastnímu číslu $(1 - \alpha)$ z výrazu (59), tím i optimální koeficienty TEQ \mathbf{w} .

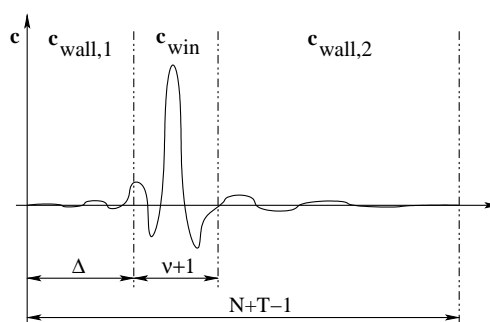
2.5.6 Shrnutí MMSE TEQ

- Kritérium MSE nemá přímý vztah s maximalizací přenosové kapacity kanálu.
- Zvětšení délky TEQ nevede nutně ke zvýšení přenosové kapacity kanálu.
- Vždy je potřeba několikrát, pro různá zpoždění Δ , určit optima TEQ (b_{opt}) a z nich pak vybrat to s největší přenosovou kapacitou. Důvodem je, že vztah mezi zpožděním a přenosovou kapacitou lze popsat jen nehladkou funkcí.
- MMSE optimalizace TEQ nebere ohled na nepoužité tóny v DMT symbolech, to vede ke zbytečnému přesunu energie na jejich kmitočty. Situaci lze zlepšit váhovaným MMSE ekvalizérem (weighted MMSE-TEQ).
- Podmínky jednotkové normy TIR nebo TEQ vedou k nejmenší chybě (MSE). Ostatní podmínky dávají větší chybu (MSE), ale některé zároveň vedou k větší přenosové kapacitě. Není tedy jednoznačné kterou z uvedených podmínek preferovat.

2.6 Další metody optimalizace TEQ

2.6.1 Maximum shortening SNR (MSSNR)

- Kritérium je založeno na zkrácení odezvy kanálu (CIR) tak, aby se minimalizovaly interference mezi symboly (ISI).
- Přesněji lze říci, že se MSSNR optimalizace TEQ snaží minimalizovat energii vně jistého okna, které je položeno přes CIR. Toto okno je obdélníkové a délky $\nu + 1$ (délky jako cyklický prefix) [1].



Obrázek 6: Vnější a vnitřní části okna přes CIR.

- Oknem (obr. 6) vybranou část CIR vyjádříme maticí:

$$\mathbf{H}_{win} = \begin{bmatrix} h_{\Delta} & \cdots & h_{\Delta-T+1} \\ \vdots & \ddots & \vdots \\ h_{\Delta+\nu} & \cdots & h_{\Delta+\nu-T+1} \end{bmatrix}, \quad (61)$$

kde Δ je posun okna od začátku CIR, $\nu + 1$ je délka okna a celková délka CIR je $N + T + 1$.

- Zbývající část CIR vlevo od okna bude:

$$\mathbf{H}_{wall,1} = \begin{bmatrix} h_0 & 0 & \cdots & 0 \\ \vdots & \ddots & & \vdots \\ h_{\Delta-1} & \cdots & & h_{\Delta-T} \end{bmatrix} \quad (62)$$

a od okna vpravo bude:

$$\mathbf{H}_{wall,2} = \begin{bmatrix} h_{\Delta+\nu+1} & \cdots & h_{\Delta+\nu-T+2} \\ \vdots & \ddots & \vdots \\ 0 & \cdots & 0 & h_{N-1} \end{bmatrix}. \quad (63)$$

- Celkově lze napsat vnější část okna takto:

$$\mathbf{H}_{wall} = [\mathbf{H}_{wall,1}^T \mathbf{H}_{wall,2}^T]^T. \quad (64)$$

- Jak bylo napsáno výše, minimalizujeme energii vně okna:

$$\min_{\mathbf{w}} \mathbf{w}^T \mathbf{H}_{wall}^T \mathbf{H}_{wall} \mathbf{w}, \text{ za podm.: } \mathbf{w}^T \mathbf{H}_{win}^T \mathbf{H}_{win} \mathbf{w} = 1. \quad (65)$$

- Kvůli možným komplikacím při řešení rce (65) doporučuje [1] opačné pojetí kritéria, a to maximalizovat energii uvnitř okna. Dále uvádí, že pro kanály ADSL je vždy $\mathbf{H}_{wall}^T \mathbf{H}_{wall}$ pozitivně semidefinitní a proto je výhodnější tato maximalizující alternativa (66).

$$\min_{\mathbf{w}} \mathbf{w}^T \mathbf{H}_{win}^T \mathbf{H}_{win} \mathbf{w}, \text{ za podm.: } \mathbf{w}^T \mathbf{H}_{wall}^T \mathbf{H}_{wall} \mathbf{w} = 1. \quad (66)$$

- Výše popsané MSSNR kritérium předpokládá, že vstupní signál je bílý.

2.6.2 Minimum delay spread (MDS)

- Víme, že část odezvy kanálu CIR, která přesahuje délku cyklického prefixu (CP) způsobuje interferenci (ISI, ICI). Tato optimalizace TEQ vychází z faktu, že míra ISI a ICI závisí na energii ve zmiňované části CIR a na její vzdálenosti od prefixu CP.
- Schur a kolektiv definovali rozptyl zpoždění D efektivního kanálu $\mathbf{c} = \mathbf{h} \star \mathbf{w}$ (67). Optima TEQ se, dle autorů, dosáhne minimalizací D^2 .

$$D = \sqrt{\frac{1}{E} \sum_{l=0}^{N+T-2} (l - \bar{l})^2 |\mathbf{c}[l]|^2}, \quad (67)$$

kde

$$E = \sum_{l=0}^{N+T-2} |\mathbf{c}[l]|^2, \quad \bar{l} = \frac{1}{E} \sum_{l=0}^{N+T-2} l |\mathbf{c}[l]|^2. \quad (68)$$

- V maticovém zápisu (dle [1]) pak řešení odpovídá problému s obecnými vlastními čísly (jako MMSE kritéria jednotkových koef.)

$$\mathbf{B}\mathbf{w} = \lambda \mathbf{A}\mathbf{w}, \quad (69)$$

$$\mathbf{A} = \mathbf{H}^T \mathbf{Q} \mathbf{H}, \quad (70)$$

$$\mathbf{B} = \mathbf{H}^T \mathbf{H}, \quad (71)$$

kde $\mathbf{Q} = \text{diag}[(0 - \bar{l}) \dots (N + T - 2 - \bar{l})]^T$ je diagonální váhovací matice.

- Ohledně vlastností je toto kritérium je celkem podobné kritériu MSSNR.

2.6.3 Maximum geometric SNR (MGSNR)

- Návrh metodou MGSNR byl jedním z prvních návrhů k maximalizaci přenosové kapacity. Zatím co optimalizace popsané v předchozí části lze zahrnout mezi úlohy návrhu filtru s jedním Rayleighovým kvocientem, optimalizace maxima geometrického SNR spadá do úloh návrhu s více kvocienty. Pro výpočet optimalizace to znamená zejména iterace přes všechny, použité nebo nepoužité tóny.
- Na základě vztahu pro celkový počet vyslaných bitů v DMT symbolu:

$$b_{DMT} = \sum_{i \in \mathcal{S}} \log_2 \left(1 + \frac{\text{SNR}_i}{\Gamma_i} \right) = \log_2 \prod_{i \in \mathcal{S}} \left(1 + \frac{\text{SNR}_i}{\Gamma_i} \right), \quad (72)$$

kde \mathcal{S} je vektor obsahující indexy použitých tónů, SNR_i je SNR pro i -tý tón a Γ_i je SNR mezi tóny (předp. stejné pro všechny tóny, tzn.: $\Gamma_i = \Gamma, \forall_i$),

napíšeme definici geometrického SNR:

$$\text{GSNR}(\mathbf{w}) = \Gamma \left(\left[\prod_{i \in \mathcal{S}} \left(1 + \frac{\text{SNR}_i}{\Gamma} \right) \right]^{1/N_u} - 1 \right). \quad (73)$$

- Vztah pro celkový počet bitů (72) se pak zjednoduší na:

$$b_{\text{GSNR}}(\mathbf{w}) = N_u \log_2 \left(1 + \frac{\text{GSNR}}{\Gamma} \right), \quad (74)$$

kde N_u je počet použitých tónů.

- Výraz pro celkový počet bitů (74) popisuje přímou úměrnost mezi přenosovou kapacitou a geometrickým SNR. Za předpokladu vysokých hodnot SNR_i a s určitou chybou lze výpočet GSNR (73) aproximovat:

$$\text{GSNR}(\mathbf{w}) \approx \left(\prod_{i \in \mathcal{S}} \text{SNR}_i \right)^{1/N_u}. \quad (75)$$

- Dle [1] lze pomocí SNR modelu přenosového kanálu dojít k požadované úloze návrhu s více Rayleighovými kvocienty. Pro definici SNR modelu kanálu vyjádříme koeficienty TIR, TEQ a odezvy kanálu ve frekvenční oblasti pro i -tý tón:

$$\begin{aligned} B_i &= \mathcal{F}_N[i, :] [\mathbf{b}^T \mathbf{0}_{1 \times (N-\nu-1)}]^T, \\ W_i &= \mathcal{F}_N[i, :] [\mathbf{w}^T \mathbf{0}_{1 \times (N-T)}]^T, \\ H_i &= \mathcal{F}_N[i, :] \mathbf{h}^T. \end{aligned}$$

Model kanálu, za předpokladu $B_i \approx H_i W_i$, bude tedy ve tvaru:

$$\text{SNR}_i(\mathbf{w}, \mathbf{b}) = \frac{\sigma_{x,i}^2 |H_i|^2}{\sigma_{n,i}^2} = \frac{\sigma_{x,i}^2 |H_i|^2 |W_i|^2}{\sigma_{n,i}^2 |W_i|^2} \approx \frac{\sigma_{x,i}^2 |B_i|^2}{\sigma_{n,i}^2 |W_i|^2} \quad (76)$$

kde $\sigma_{x,i}^2$ je výkon vysílaného signálu a $\sigma_{n,i}^2$ je výkon šumu na příjmu pro i -tý tón.

- Dosazením SNR modelu (76) do zjednodušeného vztahu pro GSNR (75) dostaneme přibližný vztah

$$\text{GSNR}(\mathbf{w}, \mathbf{b}) \approx \sigma_x^2 \left(\prod_{i \in \mathcal{S}} \frac{|B_i|^2}{\sigma_{n,i}^2 |W_i|^2} \right)^{1/N_u}, \quad (77)$$

kdy předpokládáme stejný výkon na jednotlivých tónech ($\sigma_{x,i}^2 = \sigma_x^2, \forall i$).

- Za předpokladu nezávislosti šumu na výstupu ekvalizéru a koeficientů TIR, \mathbf{b} , je maximalizace (76) ekvivalentní maximalizaci funkce

$$J(\mathbf{b}) = \frac{1}{N_u} \sum_{i \in \mathcal{S}} \ln |B_i|^2 \quad (78)$$

$$= \frac{1}{N_u} \sum_{i \in \mathcal{S}} \ln(\mathbf{b}^T \mathbf{Q}_i \mathbf{b}), \quad (79)$$

kde $\mathbf{Q}_i = \mathcal{F}_N[i, 1 : \nu + 1]^H \mathcal{F}_N[i, 1 : \nu + 1]$.

- Za podmínky zabráňující triviálnímu řešení $\mathbf{b}^T \mathbf{b} = 1$ řešíme (79) jako požadovanou úlohu s více Rayleighovými kvocienty

$$\mathbf{b}_{opt} = \arg \max_{\mathbf{b}} \prod_{i \in \mathcal{S}} \frac{\mathbf{b}^T \mathbf{B}_i \mathbf{b}}{\mathbf{b}^T \mathbf{A}_i \mathbf{b}} \quad (80)$$

pro matice

$$\begin{aligned} \mathbf{A}_i &= \mathbf{I}_{\nu+1} , \\ \mathbf{B}_i &= \mathbf{Q}_i . \end{aligned}$$

2.6.4 Carrier nulling algorithm (CNA)

- Carrier nulling (CNA) je slepá metoda ekvalizace pro OFDM/DMT systémy. Vychází z předpokladu, že některé nosné v DMT symbolu nejsou použity (jsou nulové) pro přenos informace, což je typická situace v DMT/OFDM systémech.
- CNA ekvalizér se adaptuje tak, aby minimalizoval (nuloval) energii nepoužitých nosných v přijímaných symbolech a tím při příjmu potlačil interferenční vlivy kanálu.
- Nulování nepoužitých nosných se při adaptaci CNA ekvalizéru dosahuje minimalizací účelové funkce:

$$J = \sum_{i \in \mathcal{S}} \mathcal{E} [|\mathcal{F}_N[i, :] \mathbf{Y}^k \mathbf{w}|^2] , \quad (81)$$

kde $\mathcal{F}_N[i, :]$ reprezentuje i -tý řádek DFT matice, \mathcal{S} je množina nulových nosných a \mathbf{Y}^k je matice $T \times N_{FFT}$ (Toeplitz) přijímaných symbolů ve tvaru:

$$\mathbf{Y} = \begin{bmatrix} y_0 & y_{-1} & \cdots & y_{-T+1} \\ y_1 & y_0 & \cdots & y_{-T+2} \\ \vdots & \vdots & \ddots & \vdots \\ y_{N-1} & y_{N-2} & \cdots & y_{N-T} \end{bmatrix}$$

- K zamezení triviálnímu řešení je třeba přidat nějakou podmínku (constraint), např.: $\mathbf{w}^T \mathbf{w} = 1$.
- Přeformulováním účelové funkce (81) do maticového tvaru dostáváme matice \mathbf{A} , \mathbf{B} vhodné pro metodu s jedním Rayleighovým kvocientem:

$$\begin{aligned} \mathbf{A} &= \sum_{i \in \mathcal{S}} \mathcal{E} [(\mathbf{Y}^k)^T \mathcal{F}_N[i, :]^H \mathcal{F}_N[i, :] \mathbf{Y}^k] , \\ \mathbf{B} &= \mathbf{I}_T \end{aligned} \quad (82)$$

- Jelikož CNA uvažuje pouze nulové nosné, nevede CNA prokazatelně ke zkrácení kanálu (ekvalizaci). To je zjevná nevýhoda slepé (***** slepých???) metod.

2.7 Shrnutí

- V literatuře bylo popsáno mnoho různých metod optimalizací ekvalizéru ADSL kanálu v časové oblasti. Díky srozumitelnému odvození MMSE ekvalizéru bylo MMSE-TEQ výchozím bodem pro studium dalších metod optimalizací.
- Metody založené na MMSE-TEQ patří mezi ty, které lze řešit jako úlohu návrhu filtru s jedním Rayleighovým kvocientem. Takové úlohy vedou k řešení pomocí vlastních čísel. Složitější metody optimalizace TEQ (např.: MGSNR) jsou řešeny úlohami s více kvocienty a stejně tak i metody optimalizací Per-Tone ekvalizérů (PT-EQ).
- Optimalizace TEQ na bázi úloh s jedním Rayleighovým kvocientem nabízí suboptimální řešení, a to proto, že neoptimalizují přímo na přenosovou kapacitu. Jejich výhodou je srozumitelnost odvození či implementace a menší výpočetní náročnost. Matematické řešení vlastních čísel, obsažené v optimalizacích, se pak provádí iteračními metodami (např.: výkonová nebo inverzní iterační metoda).
- Přímo na přenosovou kapacitu optimalizující metody, založené na úlohách s více Rayleighovými kvocienty, jsou preciznějším řešením. Nevýhoda je nutnost častého řešení nelineárních optimalizačních úloh.

2.8 Ekvalizace ve frekvenci - FEQ

- Jak bylo uvedeno v sekci Princip ekvalizace (str. 5), slouží FEQ k ekvalizaci korektně přijatých tónů, tj. za předpokladu optimální funkce TEQ.
- V reálných případech FEQ jako komplexní násobička (obr. 4) nemusí být dostačující. Vývoj ekvalizace ADSL kanálu ukázal jinou cestu, a to použití tzv. per-tone ekvalizérů (PT-EQ) na místo kombinace TEQ a FEQ.

2.9 Ekvalizace ve frekvenci (PT-EQ)

- Ekvalizace po jednotlivých tónech (per tone) ve frekvenční oblasti je z principu preciznější metoda než ekvalizace v časové oblasti. Hlavní příčinou je podstata DMT, tj. ortogonální řazení ve frekvenci po sobě jdoucích signálů.
- Na rozdíl od FEQ zajišťuje kompletní ekvalizaci, tj. bez TEQ. Funkce TEQ je transformována do frekvenční oblasti, čili za operaci DFT v přijímači.
- Základní nevýhodou může být větší náročnost na realizaci.

2.9.1 Základní provedení PT-EQ

- Demodulovaný signál po ekvalizaci může být definován takto:

$$[Z_1^k \dots Z_N^k]^T = \text{diag}\{D_1 \dots D_N\} \cdot \underbrace{\mathcal{F}_N(\mathbf{Y}\mathbf{w})}_{1 \text{ FFT}}, \quad (83)$$

kde $D_1 \dots D_N$ jsou komplexní korektory signálu na výstupu kanálu (toeplitzovská matice \mathbf{Y}).

- Výstup pro jeden i -tý tón lze podle (83) napsat

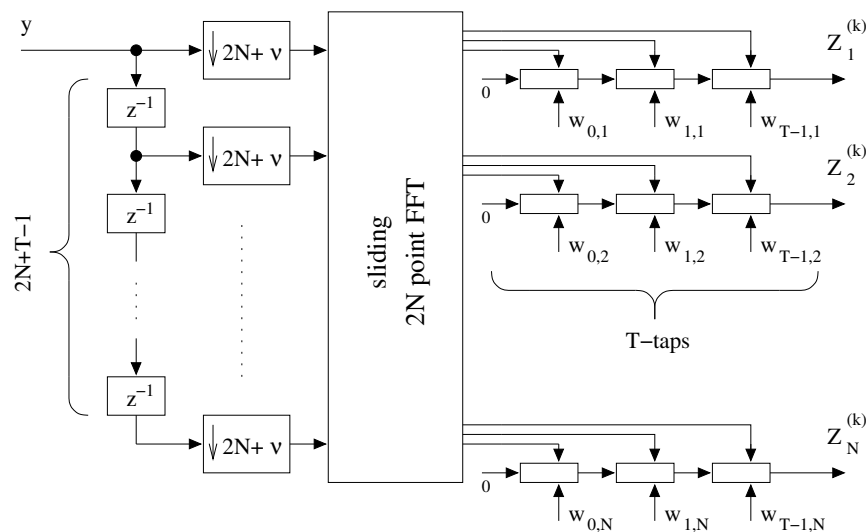
$$Z_i = D_i \cdot \text{row}_i(\mathcal{F}_N) \cdot (\mathbf{Y}\mathbf{w}). \quad (84)$$

- Na signál jednoho tónu po DFT transformaci lze pohlížet jako na výstup filtru, jehož koeficienty jsou rovny koeficientům odpovídající řádky DFT matice \mathcal{F}_N . Výstup pro jeden tón tedy přepíšeme do tvaru:

$$Z_i = \text{row}_i(\underbrace{\mathcal{F}_N \mathbf{Y}}_{T \text{ FFT's}}) \cdot \mathbf{w} D_i. \quad (85)$$

Dostáváme tím vyjádření popisující tyto filtry délky T .

- Pro výpočet ekvalizace jednoho symbolu musíme provést T DFT operací (jedna pro každý sloupec sig. matice \mathbf{Y}). Dle uvedených poznatků dostáváme strukturu základního per-tone ekvalizéru (obr. 7). Vidíme, že každý tón je ekvalizován svým TEQ.



Obrázek 7: Základní provedení per-tone ekvalizéru (PT-EQ)

2.9.2 PT-EQ s optimalizací MMSE (MMSE-FEQ)

- Pro optimální návrh jednotlivých TEQ napíšeme účelovou funkci dle kritéria nejmenších středních čtverců (MMSE):

$$\begin{aligned} \min_{\mathbf{w}_i} J(\mathbf{w}_i) &= \min_{\mathbf{w}_i} E \left[\left| Z_i^{(k)} - X_i^{(k)} \right|^2 \right] \\ &= \min_{\mathbf{w}_i} E \left[\left| \mathbf{w}_i^T \cdot \begin{bmatrix} \mathcal{F}_N[i, :] & 0 & \dots & 0 \\ 0 & \mathcal{F}_N[i, :] & \ddots & \vdots \\ \vdots & \vdots & \ddots & 0 \\ 0 & \dots & 0 & \mathcal{F}_N[i, :] \end{bmatrix} \cdot \mathbf{y} - X_i^{(k)} \right|^2 \right] \end{aligned} \quad (86)$$

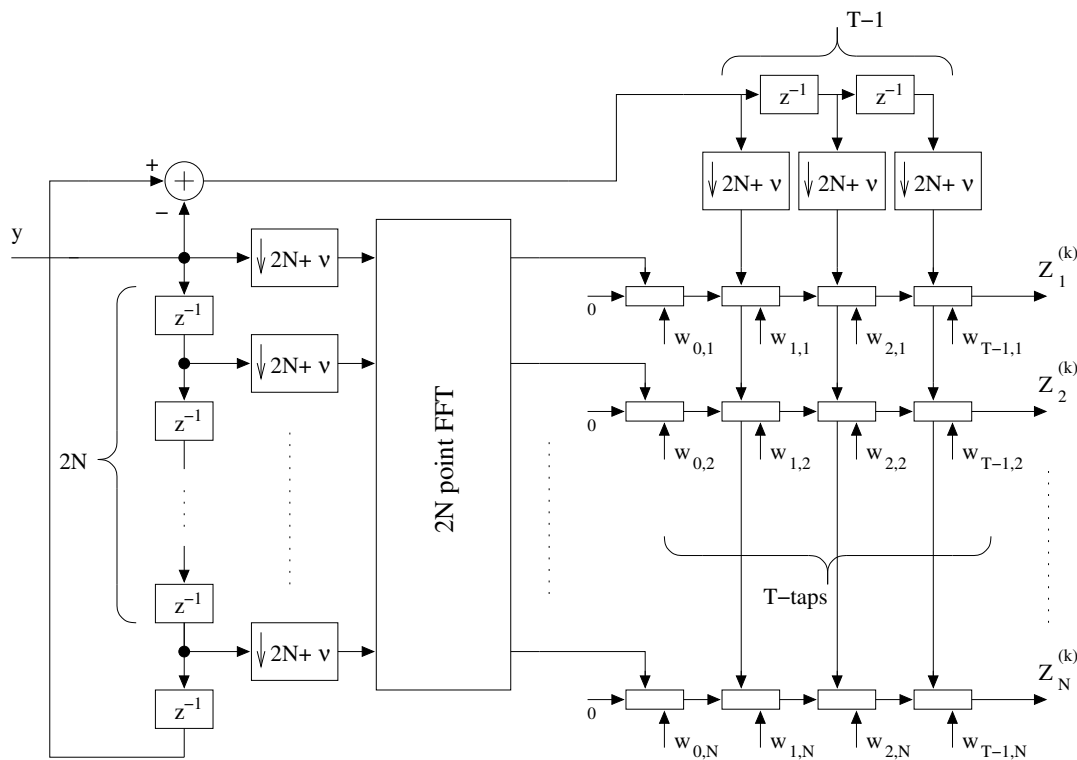
kde $\mathcal{F}_N[i, :]$ je i -tý řádek DFT matice.

- Zde je vidět jak MMSE-FEQ optimalizuje každý tón separátně. Tento fakt vede ke hladké funkci mezi přenosovou kapacitou a zpožděním Δ (viz. model optimalizace MMSE-TEQ) a tím je, oproti MMSE-TEQ snadnější nalézt optima filtrů.
- Ekvalizér MMSE-FEQ také odstraňuje druhou nevýhodu MMSE-TEQ. Zvýšení řádu filtrů u MMSE-FEQ totiž vede ke zvýšení přenosové kapacity, v případě MMSE-TEQ to nebylo zaručeno.

2.9.3 Modifikace PT-EQ

- Kvůli podstatně zvýšeným výpočetním nárokům MMSE-FEQ, jako je T výpočtů operace DFT, je třeba zjednodušit strukturu uvedeného základního ekvalizéru.

- Signálová matice \mathbf{Y} má z definice strukturu Toeplitzovy matice a lze dokázat, že je, díky tomu, možné nahradit výpočet T DFT operací (sliding window FFT) za jednu DFT operaci. Takto modifikovanou strukturu ekvalizéru ukazuje obrázek č. 8.



Obrázek 8: Náhrada sliding window FFT v ekvalizéru

- Princip upraveného ekvalizéru lze vyložit následovně. Nejprve je ekvalizován příslušný tón a po té jsou provedeny operace k výpočtu sliding window FFT.
- K. Van Acker, ve své práci [2], uvádí účelovou funkci pro tento modifikovaný ekvalizér. Odvození se opírá o základní vyjádření účelové funkce (86), ta, resp. její hledané minimum, v souladu s úpravami filtru nabývá tvaru:

$$\min_{\mathbf{v}_i} J(\mathbf{v}_i) = \min_{\mathbf{v}_i} E \left[\left| \mathbf{v}_i^T \cdot \begin{bmatrix} \mathbf{I}_T & \mathbf{0} & \mathbf{I} \\ \mathbf{0} & \mathcal{F}_N[i, :] \end{bmatrix} \cdot \mathbf{y} - X_i^{(k)} \right|^2 \right], \quad (87)$$

kde $\mathbf{v}_i^T = [v_{i,T-1} \dots v_{i,0}]$ jsou koeficienty ekvalizéru pro i -tý tón v obráceném pořadí.

3 Shrnutí

- Současná práce na projektu obsahuje popis základních metod optimalizace TEQ. Metody založené na optimalizaci MMSE, resp. algoritmy optimalizací, byly implementovány v prostředí Matlab a byly aplikovány v modelu přenosové cesty ADSL komunikace.
- Další popsané optimalizace TEQ, včetně těch na bázi úloh s více Rayleighovými kvocienty, budou také implementovány v prostředí Matlab. Jako shrnutí ekvalizace v časové oblasti bude potom provedeno srovnání výsledků simulací pro vybrané metody.
- Aktuální řešené téma je ekvalizace kanálu po jednotlivých tónech (Per-Tone EQ). Základní metoda a její realizace byla již popsána a bude implementována. Podle předběžného studia bude pravděpodobně předmětem zájmu jednak metoda maximalizující přenosovou kapacitu (Bitrate Maximizing) a metody využívající váhování oknem, jako například používá nedávno publikovaný ekvalizér WiPTEQ (autora G. Ysebaerta).

Reference

- [1] G. Ysebaert, Equalization and echo cancellation in DMT-based systems, SISTA-ESAT K.U. Leuven, Belgium, April 2004
- [2] K. Van Acker, Equalization and echo cancellation for DMT modems, SISTA-ESAT K.U. Leuven, Belgium, January 2001
- [3] John A. C. Bingham, ADSL, VDSL and multicarrier modulation, John Wiley & Sons, inc., 2000
- [4] Cioffi J. M., Al-Dhahir N. M. W., Efficiently-computed reduced-parameter input-aided MMSE equalizers for ML detection: A unified approach, IEEE Trans. on information theory, 42(3):p. 903-915, May 1996